

4 - 4 1984年伊豆川奈崎沖の群発地震について

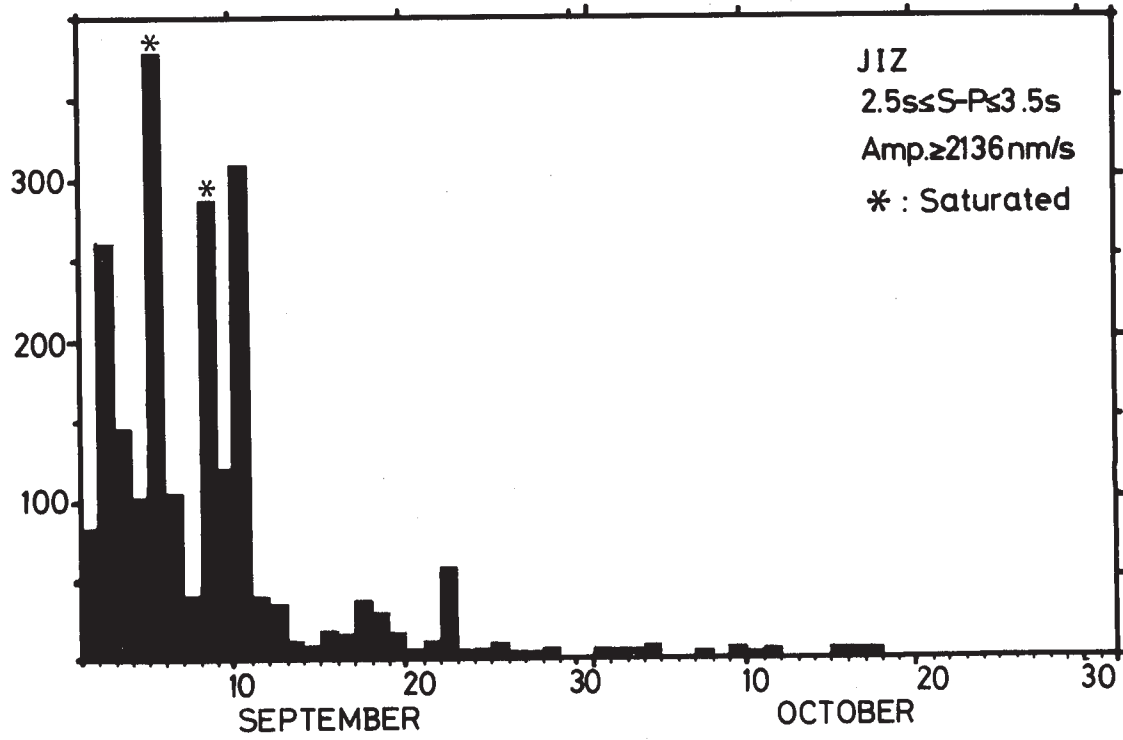
Earthquake Swarm off Kawanazaki, Izu Peninsula, in 1984

国立防災科学技術センター

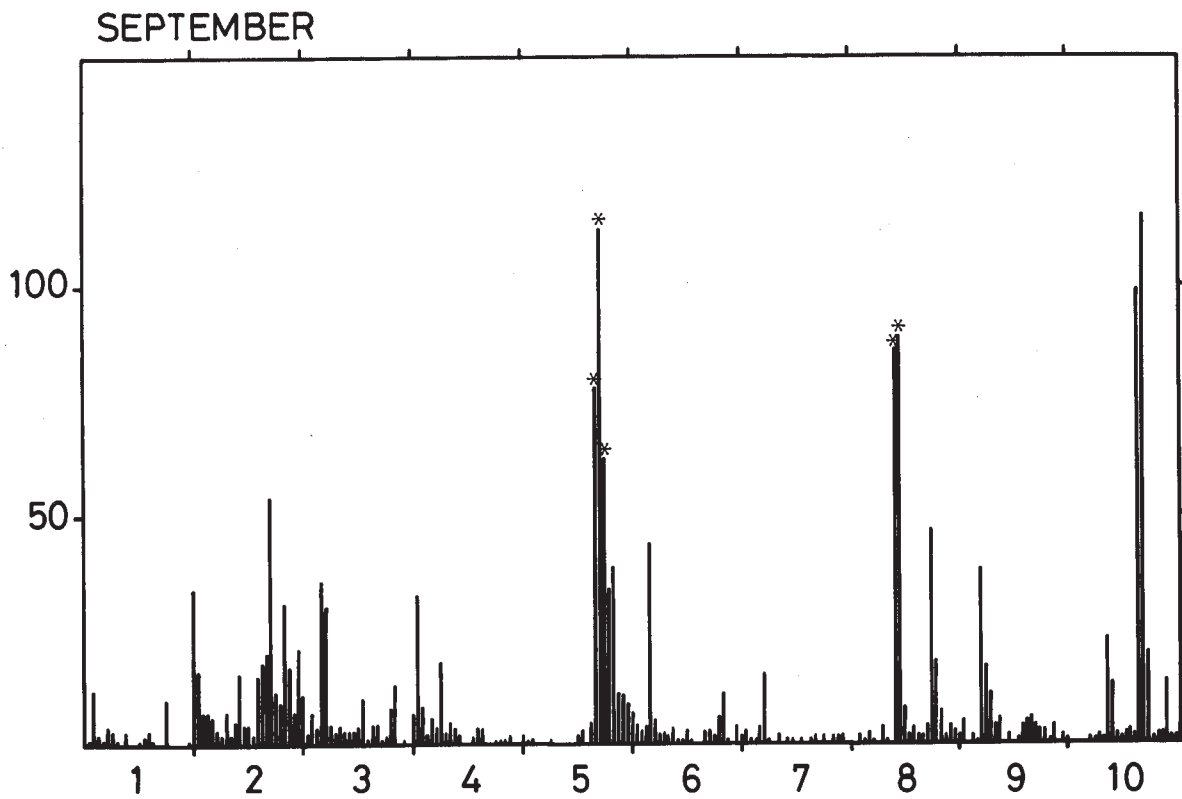
National Research Center for Disaster Prevention

1984年8月末から10月末頃にかけて伊豆川奈崎沖に群発地震が発生した。活動は9月2, 5, 8, 10, 22日に極大となったが、それ以降は沈静化し、10月下旬にはほぼ終息した(第1図(a))。特に活動が活発であったのは9月10日までで(第1図(b)), $M \geq 3.5$ の地震はこの期間に集中している。活動域は北西-南東方向の長さ約10 km, 幅約5 kmの帯状の分布をしており(第2図(a)), 震源の深さは7-20 kmに集中している(第2図(b), (c))。沼津観測点(NMZ)でのS-P時をみると9月10日前後でやや大きくなっており(第3図), この時期は震源域の南西部での活動が活発であった(第4図(b)), 発震機構解は西北西-東南東方向にP軸, 北北東-南南西方向にT軸を持つ横すべり型のものが卓越するが, P軸がやや帯状に分布することから正断層成分も含まれていると考えられる(第5図)。

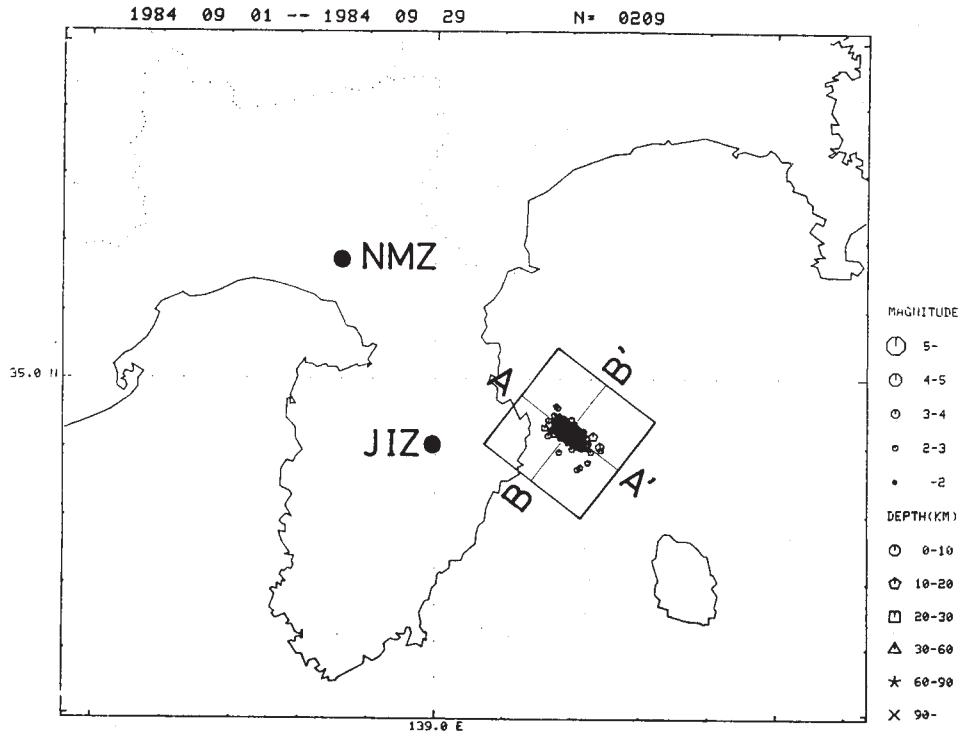
(堀 貞喜)



第1図 (a) 中伊豆観測点 (JIZ) で $S - P$ 時が 2.5 秒以上 3.5 秒以下の日別地震数
 Fig. 1 (a) Daily number of earthquakes at the Nakaizu station (JIZ) for $2.5s \leq S - P \leq 3.5s$.

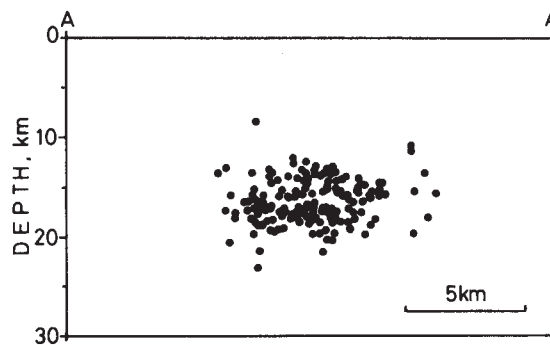


第1図 (b) 同時間別地震数
 Fig. 1 (b) Hourly number of earthquakes at JIZ.



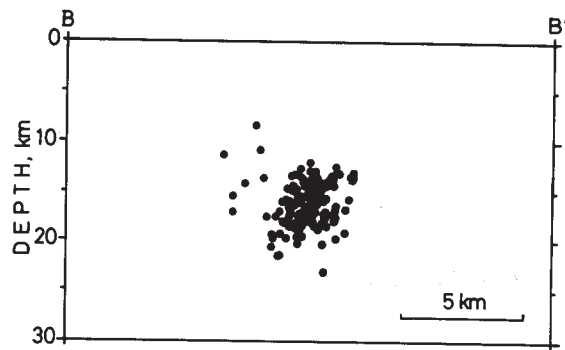
第2図 (a) 1984年9月1日から29日までの震央分布図

Fig. 2 (a) Epicentral distribution of earthquakes for the period from September 1 to 29, 1984.



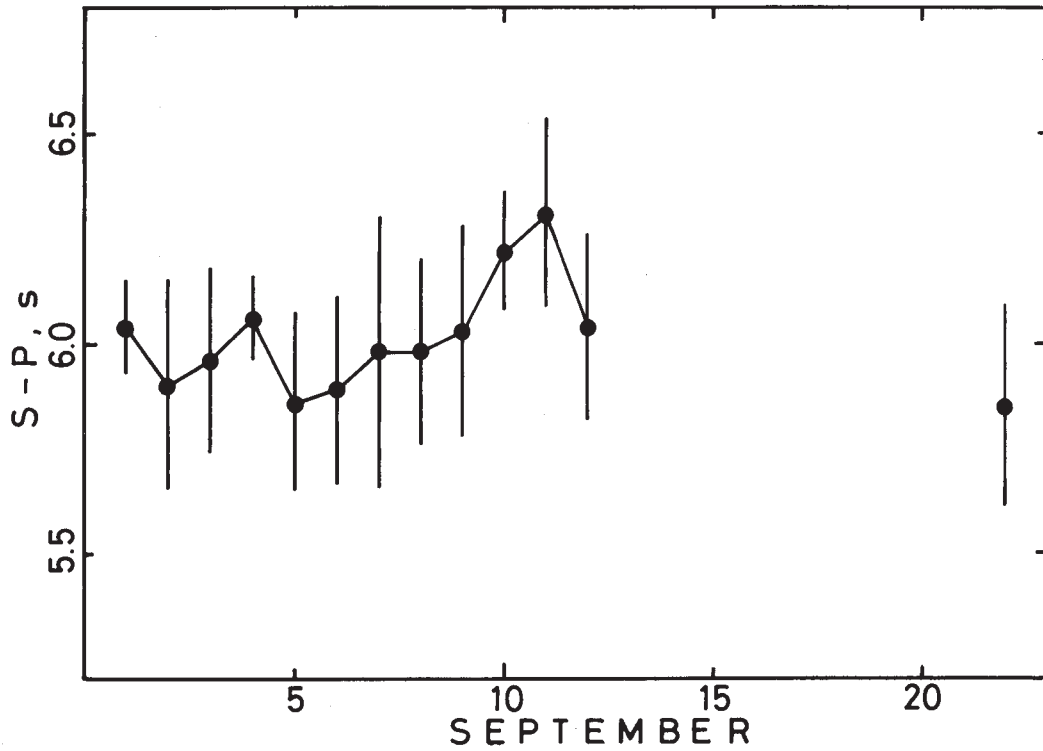
第2図 (b) 第2図 (a) の AA' に沿った断面図

Fig. 2 (b) Hypocentral distribution in the profile along AA' in Fig. 2 (a).



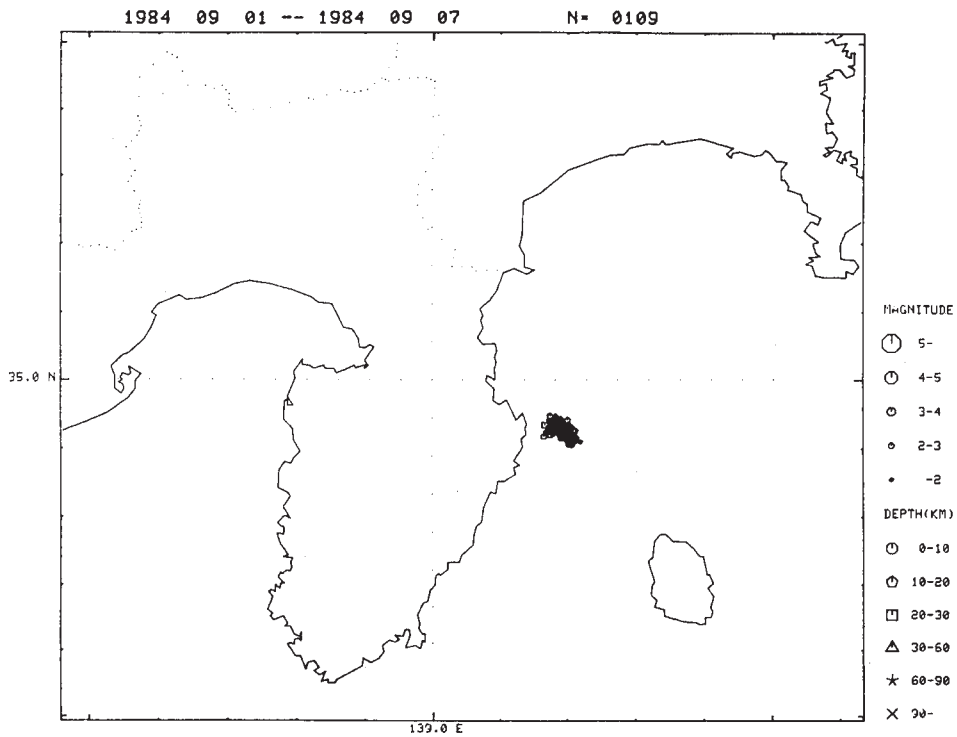
第2図 (c) 第2図 (a) の BB' に沿った断面図

Fig. 2 (c) Hypocentral distribution in the profile along BB' in Fig. 2 (a).



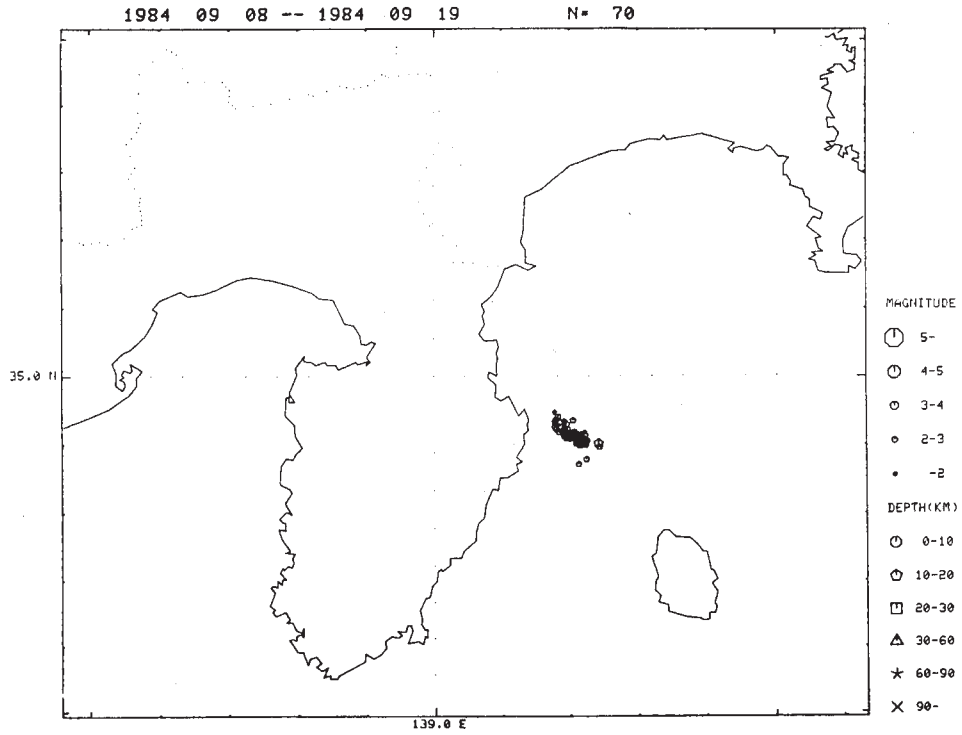
第3図 沼津観測点 (NMZ) における S - P 時の日変化。黒丸と縦線はそれぞれ平均と標準偏差を表わす

Fig. 3 Daily variation of S - P times at the Numazu station (NMZ). Solid circles and bars indicate averages and standard deviations.

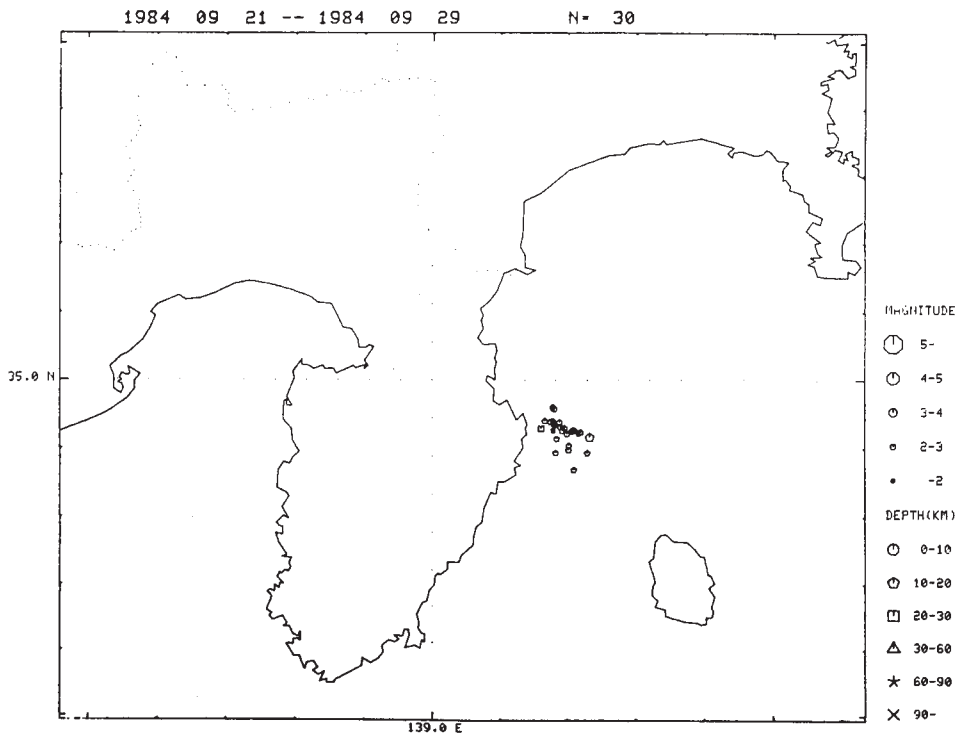


第4図 (a) 震央分布図 (1984. 9. 1 - 7)

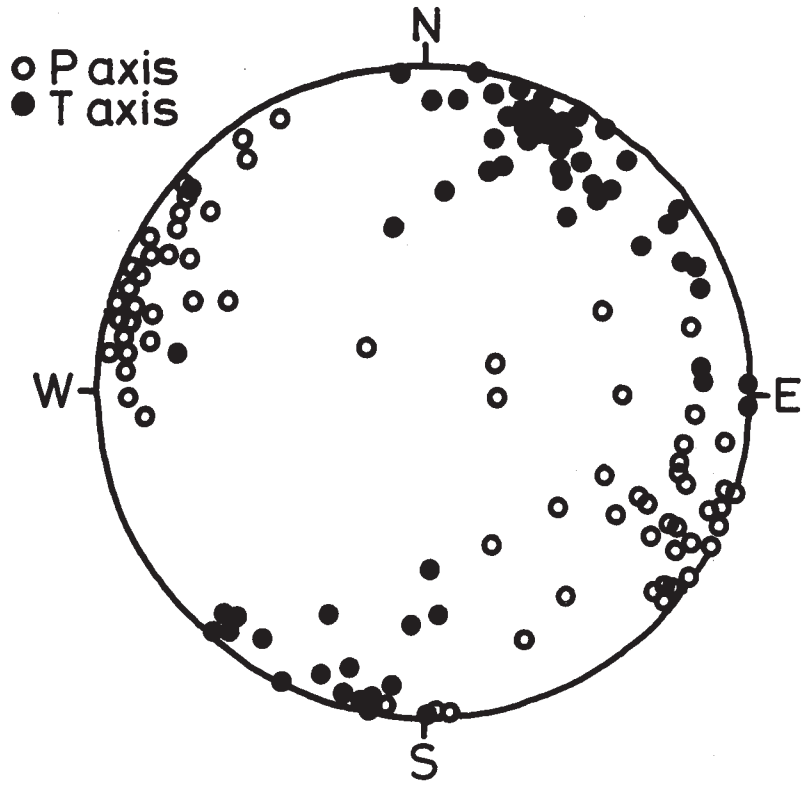
Fig. 4 (a) Epicentral distribution (Sep. 1 - 7, 1984).



第4図 (b) 震央分布図 (1984.9.8 - 19)
 Fig. 4 (b) Epicentral distribution (Sep. 8 - 19, 1984).



第4図 (c) 震央分布図 (1984.9.21 - 29)
 Fig. 4 (c) Epicentral distribution (Sep. 21 - 29, 1984).



第5図 P軸（白丸）とT軸（黒丸）の分布。下半球投影

Fig. 5 Distribution of P (open circles) and T (solid circles) axes projected on the lower hemisphere.